

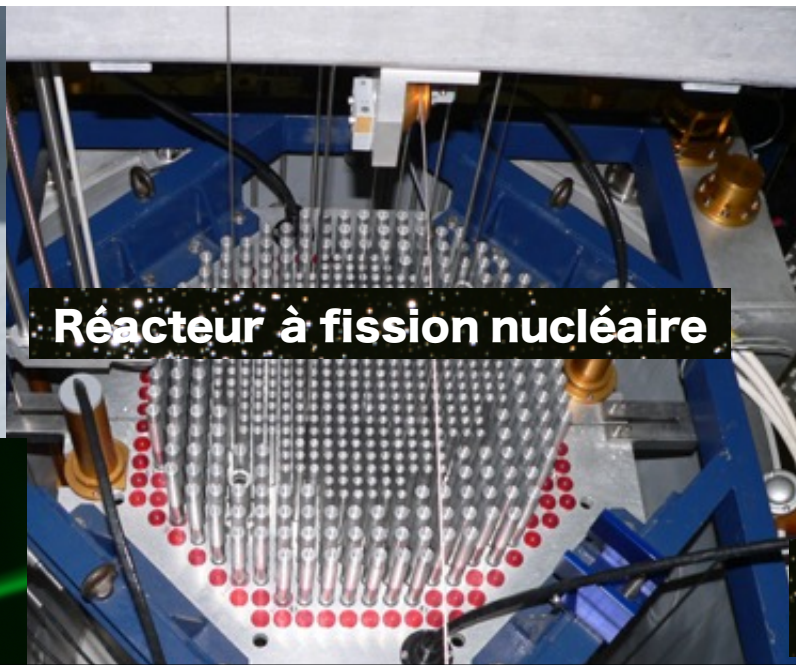
Comment courber l'espace-temps avec des électroaimants

André Füzfa
Université de Namur

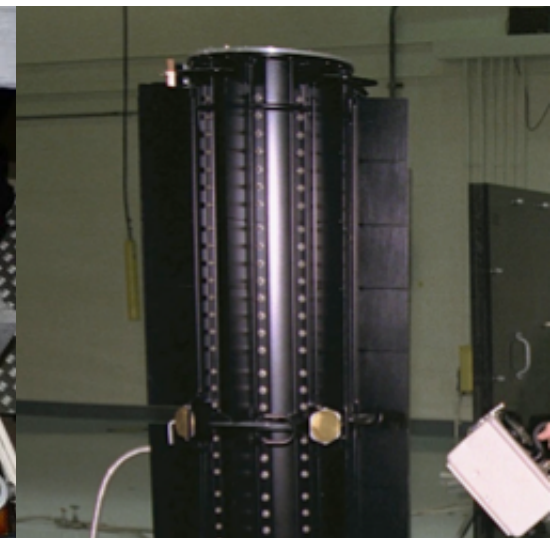
Pile Betavoltaïque



Réacteur à fission nucléaire



Générateur électrique radioisotope

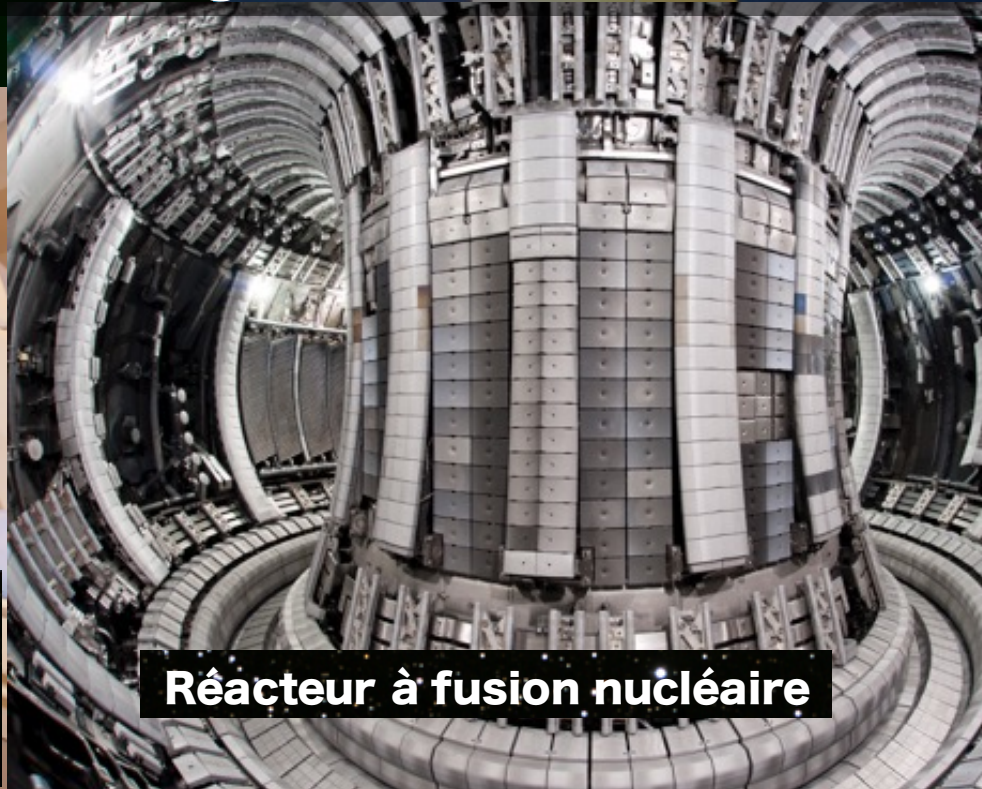


Toutes ces technologies utilisent des forces fondamentales

Aimant supraconducteur pour l'imagerie médicale



Réacteur à fusion nucléaire



Soudure à l'arc électrique





**Les générateurs de gravité:
Une technologie de la science-fiction**

**Contact:
Machine à trous de vers**



Star Wars: Hyperdrive



**Superman:
Machine à gravité**

**Retour vers le futur:
Convecteur temporel**



**Star Gate SG1:
Porte des étoiles**



Les Nouveaux Héros: portails



Star Trek: Générateur de gravité





**Les générateurs de gravité
en relativité générale**

Le principe d'équivalence d'Einstein

Universalité de
la chute libre



Il n'y a pas moyen de distinguer localement
une accélération d'un champ de pesanteur

La géométrisation de la gravité

★ Universalité de la chute libre: le mouvement est une propriété géométrique

★ Le champ gravitationnel est une matrice métrique

1 potentiel newtonien V  10 potentiels relativistes $g_{\mu\nu}$

★ Quels sources pour le champ gravitationnel?

Gravitation de Newton:

Masse d'inertie

Gravitation d'Einstein:

Masse d'inertie +?
pressions? De toutes sortes?

Invariance de position locale

Toute conclusion expérimentale valide doit pouvoir être reproduite indépendamment de la position et de l'époque

Sur Terre, aujourd'hui

$$c=299792458 \text{ m/s}$$

$$\alpha= 0.007297\dots$$

$$G=6.67384 \times 10^{-11} \text{ m}^3/(\text{kg} \cdot \text{s}^2)$$

Etc.

A long time ago,
In a galaxy far, far away

$$c=299792458 \text{ m/s}$$

$$\alpha= 0.007297\dots$$

$$G=6.67384 \times 10^{-11} \text{ m}^3/(\text{kg} \cdot \text{s}^2)$$

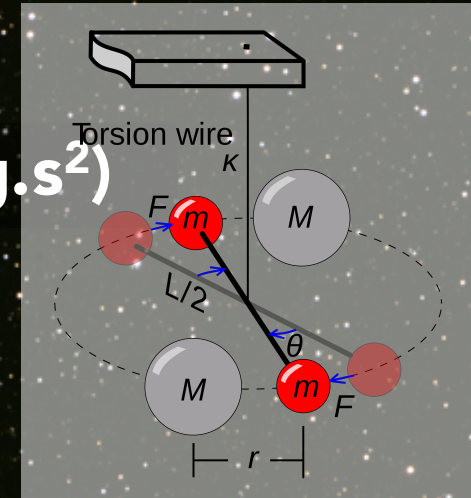
Etc.

C'est aussi vrai pour la gravité!

Le principe d'équivalence fort

Expérience de Cavendish

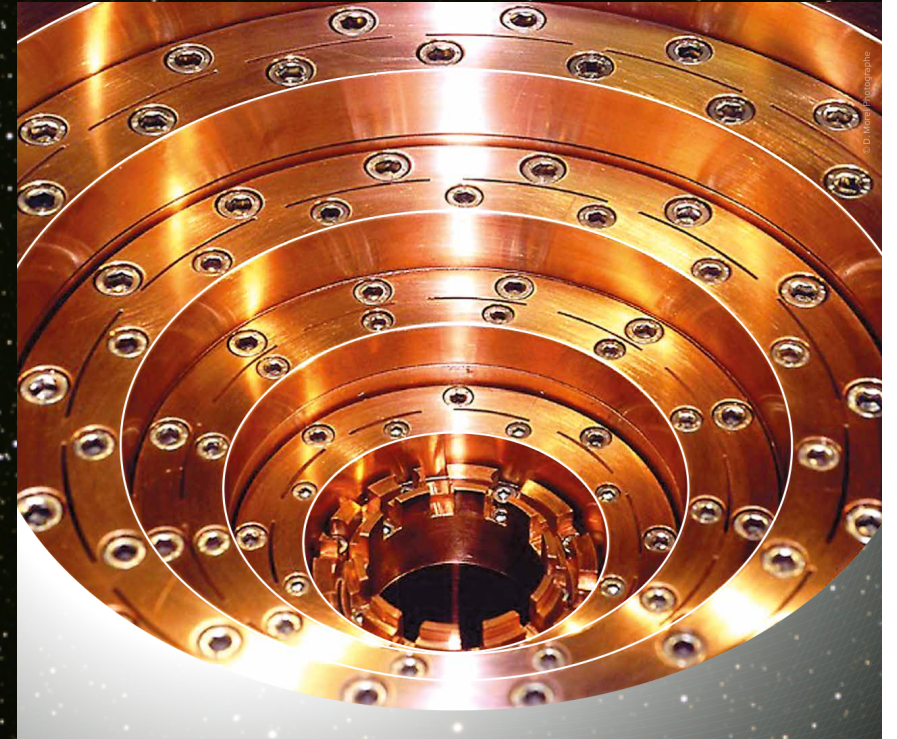
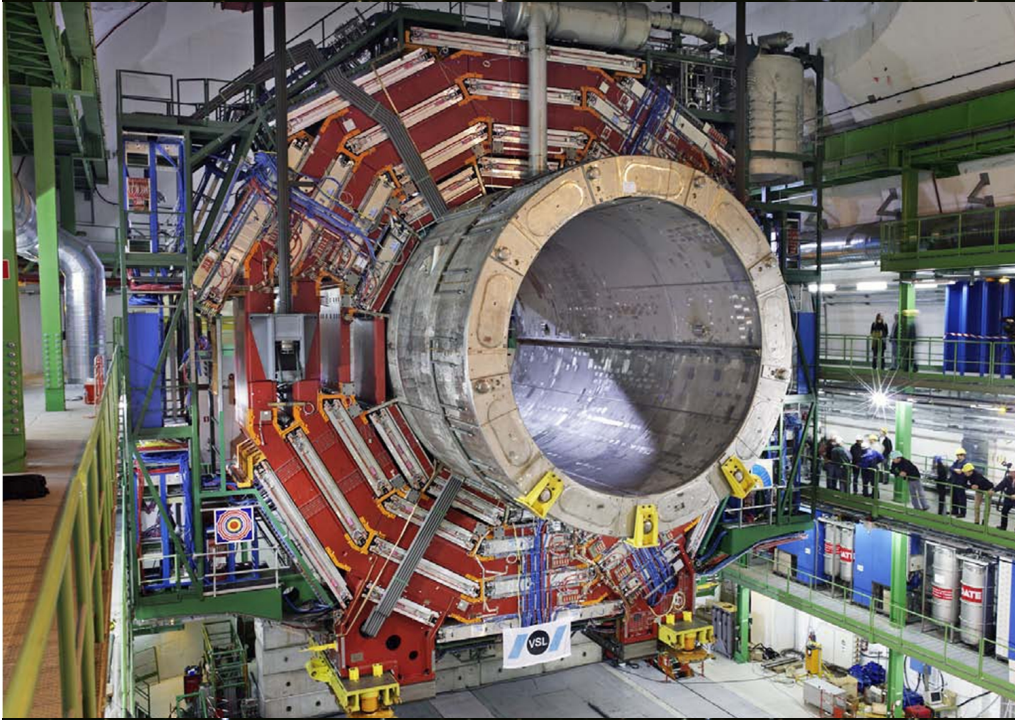
$$G=6.67384 \times 10^{-11} \text{ m}^3/(\text{kg} \cdot \text{s}^2)$$



Les expériences gravitationnelles impliquent tous les types d'énergie de liaison

Invariance de position locale:

Tous les types d'énergie, y compris gravitationnelles, produisent de la gravitation avec la même intensité



Les générateurs de champ magnétique sont donc aussi des générateurs de gravité

Les équations d'Einstein de la relativité générale

- ★ Equations d'Einstein avec matière et électromagnétisme

$$\underbrace{R_{\mu\nu} - \frac{1}{2}Rg_{\mu\nu}}_{\text{Courbure de l'espace-temps}} = -\frac{8\pi G}{c^4} \underbrace{\left(T_{\mu\nu}^{(\text{mat})} + T_{\mu\nu}^{(\text{em})} \right)}_{\text{Equivalence: Tout type d'énergie, avec la même intensité constante}}$$

Courbure de l'espace-temps

Equivalence:
Tout type d'énergie,
avec la même intensité constante

- ★ Source électromagnétique.

$$T_{\mu\nu} \sim - \begin{pmatrix} \epsilon_0 E^2 + B^2 / \mu_0 & \vec{S} / c \\ \vec{S} / c & M_{3 \times 3} \end{pmatrix} \quad \begin{array}{l} \text{Tenseur énergie-impulsion} \\ \text{Électromagnétique} \end{array}$$

Avec S le vecteur de Poynting et M le tenseur des contraintes de Maxwell

Les équations de Maxwell en espace-courbe

★ Quadri-potentiel électromagnétique $A^\mu = (V/c, \vec{A})$
(sgn(g)=(+, -, -, -)):

★ Tenseur de Faraday (F=dA): $F_{\mu\nu} = \partial_\mu A_\nu - \partial_\nu A_\mu$

★ Premier groupe des équations de Maxwell (par construction:
dF=d²A=0)

$$\nabla_\alpha F_{\beta\gamma} + \nabla_\gamma F_{\alpha\beta} + \nabla_\beta F_{\gamma\alpha} = 0 \iff \vec{\nabla} \cdot \vec{B} = 0$$

$$\vec{\nabla} \wedge \vec{E} = -\partial_t \vec{B}$$

★ Quadri-densité de courant: $J^\mu = (c\rho_Q, \vec{J})$

★ Second groupe des équations de Maxwell

$$\nabla_\mu F^{\mu\nu} = \mu_0 J^\nu \iff \vec{\nabla} \cdot \vec{E} = \rho_Q / \epsilon_0$$

$$\vec{\nabla} \wedge \vec{B} = \mu_0 \vec{J} + \mu_0 \epsilon_0 \partial_t \vec{E}$$

↖ Dérivée covariante (courbure)

Le système Einstein-Maxwell (EM)

★ Equations d'Einstein:

$$R_{\mu\nu} - \frac{1}{2}Rg_{\mu\nu} = -\frac{8\pi G}{c^4} \left(T_{\mu\nu}^{(\text{mat})} + T_{\mu\nu}^{(\text{em})} \right)$$

$$T_{\mu\nu}^{(\text{em})} = -\frac{1}{\mu_0} \left(g^{\alpha\beta} F_{\mu\alpha} F_{\nu\beta} - \frac{1}{4} g_{\mu\nu} F_{\alpha\beta} F^{\alpha\beta} \right) \quad \begin{array}{l} \text{Tenseur énergie-} \\ \text{impulsion} \\ \text{Électromagnétique} \end{array}$$

$$F_{\mu\nu} = \partial_\mu A_\nu - \partial_\nu A_\mu \quad \text{Tenseur de Faraday}$$

★ Pur système Einstein-Maxwell $T_{\mu\nu}^{(\text{mat})} = 0$

and
 $T^{(\text{em})} = 0 \Rightarrow R = 0$

$$R_{\mu\nu} = -\frac{8\pi G}{c^4} T_{\mu\nu}^{(\text{em})}$$

Einstein equations

$$\nabla_\mu F^{\mu\nu} = \mu_0 J^\nu$$

**Maxwell equations
with J^ν current density**

Quelques résultats analytiques

- ★ Espace-temps avec des champs électriques/magnétiques uniformes:
 - Solutions statiques, à symétrie axiale et cosmologiques (globales) :
Levi-Civita, 1917 ; Bertotti, 1959 ; Robinson, 1959 ; Bonnor, 1954 ; Melvin, 1964 ; Peblansky & Hacyan, 1979
 - Pas asymptotiquement plates
- ★ Le trou noir chargé:
 - Sans rotation : Reissner, 1916 and Nordström, 1918
 - En rotation: Kerr-Newman, 1965
 - Asymptotiquement plate
- ★ Fil rectiligne infini parcouru par un courant continu
 - Mukherjee, 1938 ; Witten, 1962
 - Pas asymptotiquement plates (divergence des champs de métrique à l'infini)

Quelques résultats analytiques

- ★ Théorème de Bonnor (1953):
 - Correspondance duale entre solutions électrostatiques et magnétostatiques solutions à l'extérieur des sources
 - Preuve de l'existence d'une solution pour les boucles de courant et comportement asymptotique partiel pour le dipôle magnétique

Des solutions asymptotiquement plates en symétrie axiale?

- ★ Boucles de courant en relativité générale (Bonnor, 1960):
 - Équations du champ et solution analytique particulière
- ★ Solénoïde infiniment long dans le régime en champ faible (Ivanov, 1994)

Solutions du système Einstein-Maxwell complet pour des boucles de courant et des solénoïdes portant des courants électriques arbitrairement grands?

Modéliser des électroaimants en relativité générale

- ★ Espace-temps axisymétrique en coordonnées cylindriques
- ★ Etant donné $J_\varphi(r,z)$, 3 inconnues: $A_\varphi = a(r,z)/r$, $g_{tt}(r,z)$; $g_{rr}(r,z)$
- ★ Phénoménologie des équations d'Einstein-Maxwell :

→ Courber l'espace-temps avec du magnétisme :

$$\nabla^2 g_{tt} \sim \frac{8\pi G}{c^4 \mu_0} B^2$$

$$\nabla^2 g_{rr} \sim \frac{8\pi G}{c^4 \mu_0} (B_z^2 - B_r^2)$$

Equations de Poisson sourcées
Par les densités
et les pressions
magnétiques

→ Magnétisme en espace courbe:

$$\nabla^2 a \sim -r \mu_0 J_\varphi - \vec{\nabla} a \cdot \vec{\nabla} g_{tt}$$

$$\nabla_{(r,z)}^2 = \partial_r^2 + \partial_r/r + \partial_z^2$$

Equations du champ

★ Choix de jauge pour la métrique et le potentiel EM :

$$ds^2 = c^2 e^{\rho(r,z)} dt^2 - e^{\lambda(r,z)} (dr^2 + dz^2) - e^{-\rho(r,z)} r^2 d\varphi^2$$

$$A = \frac{a(r,z)}{r} d\varphi$$

★ Equations d'Einstein:

$$\nabla_{(r,z)}^2 \rho = \frac{8\pi G}{c^4 \mu_0} \frac{e^\rho}{r^2} \left((\partial_r a)^2 + (\partial_z a)^2 \right) \leftarrow \text{Densité d'énergie magnétique}$$

$$\nabla_{(r,z)}^2 \lambda + (\partial_z \rho)^2 = \frac{8\pi G}{c^4 \mu_0} \frac{e^\rho}{r^2} \left((\partial_r a)^2 - (\partial_z a)^2 \right)$$

★ Equation de Maxwell (J=J φ):

$$\nabla_{(r,z)}^2 a - \frac{2}{r} \partial_r a = - (\partial_r a \partial_r \rho + \partial_z a \partial_z \rho) - r \mu_0 J$$

$$\nabla_{(r,z)}^2 = \partial_r^2 + \partial_r / r + \partial_z^2 \leftarrow \text{Laplacien en espace plat!}$$

L'équation de Maxwell en espace courbe

$$\nabla_{(r,z)}^2 a - \frac{2}{r} \partial_r a = - (\partial_r a \partial_r \rho + \partial_z a \partial_z \rho) - r \mu_0 J$$

Décomposition du potentiel vecteur: $a = a_{nr} + a_{rel}$

★ Equation de Maxwell non-relativiste : (background plat $\rho=\lambda=0$)

$$\nabla_{(r,z)}^2 a_{nr} - \frac{2}{r} \partial_r a_{nr} = -r \mu_0 J$$

★ Sources pour a_{nr} :

- **Boucle de courant** : anneau infiniment mince ($J \sim \delta(z) \cdot \delta(r-l)$)
- **Solénoïde** : feuillet infiniment fin ($J \sim \delta(r-l)$ for z in $[-L/2; L/2]$)
- Solutions classiques en termes des fonctions elliptiques complètes de première, seconde et troisième espèces
- peut aussi être obtenue par la loi de Biot-Savart
- évite de devoir manipuler des sources ponctuelles

Equations du champ sans dimension

- ★ Boucle de courant de longueur l : $u=r/l$, $v=z/l$, $a' = a / (\mu_0 I l)$
- ★ Solénoïde de longueur L et de rayon l : $v=z/L$, $a' = a / (\mu_0 I nL l)$
- ★ 3 EDPs non-linéaires elliptiques couplées adimensionnées

$$\nabla^2 \rho = C_I \frac{L^2}{l^2} \frac{e^\rho}{u^2} \left((\partial_u (a_{nr} + a_{rel}))^2 + \frac{l^2}{L^2} (\partial_v (a_{nr} + a_{rel}))^2 \right)$$

$$\nabla^2 \lambda + \frac{l^2}{L^2} (\partial_v \rho)^2 = C_I \frac{L^2}{l^2} \frac{e^\rho}{u^2} \left((\partial_u (a_{nr} + a_{rel}))^2 - \frac{l^2}{L^2} (\partial_v (a_{nr} + a_{rel}))^2 \right)$$

$$\nabla^2 a_{rel} - \frac{2}{u} \partial_u a_{rel} = - \left(\partial_u (a_{nr} + a_{rel}) \partial_u \rho + \frac{l^2}{L^2} \partial_v (a_{nr} + a_{rel}) \partial_v \rho \right)$$

★ Couplage magnétogravitationnel $C_I = \frac{8\pi G}{c^4} \mu_0 I_{tot}^2 = 8\pi \left(\frac{I_{tot}}{I_{Pl}} \right)^2$

Courant de Planck : $I_{Pl} = \frac{c^2}{\sqrt{G\mu_0}} = 9.8169 \times 10^{24} A$

Conditions de bord

- ★ Conditions de régularité en $r=0$: composantes radiales des gradients nulles sur l'axe
- ★ Platitude asymptotique : champ gravitationnel autour d'un dipôle magnétique:

$$\rho \sim \frac{C_{\mathcal{I}} L^4 v^2}{32 l^4 d^6} \quad \text{Avec } d \text{ la distance euclidienne } d = \left(u^2 + \frac{L^2}{l^2} v^2 \right)^{1/2}$$

$$\lambda \sim \frac{C_{\mathcal{I}} L^2}{16 l^2} \left[2 \frac{u^2}{d^6} - \frac{L^2 v^2}{l^2 2d^6} - \frac{9u^4}{4d^8} \right]$$

$$a_{\text{rel}} \sim 0$$

- ★ Champs gravitationnels non monopolaires

Numerical method (1/2)

★ Relaxation method: $\nabla^2 \rho^{(n+1)} = \mathcal{S}_1 \left[\rho^{(n)}, a_{\text{rel}}^{(n)} \right], \text{etc.}$

→ 3 PDEs for 3 unknowns: $\rho, \lambda, a_{\text{rel}}$

→ Initial guess (n=0): non-relativistic solution

→ at each step n, solve a set of linear inhomogeneous elliptic PDEs

→ stop when relative updates below tolerance threshold

★ Fourier decomposition with cosines (regularity conditions):

$$f(u, v) = \sum_{k=0}^N \hat{f}_k(u) \cos\left(\frac{k\pi}{V}v\right); (u, v) \in [0, U] \times [-V, +V]$$

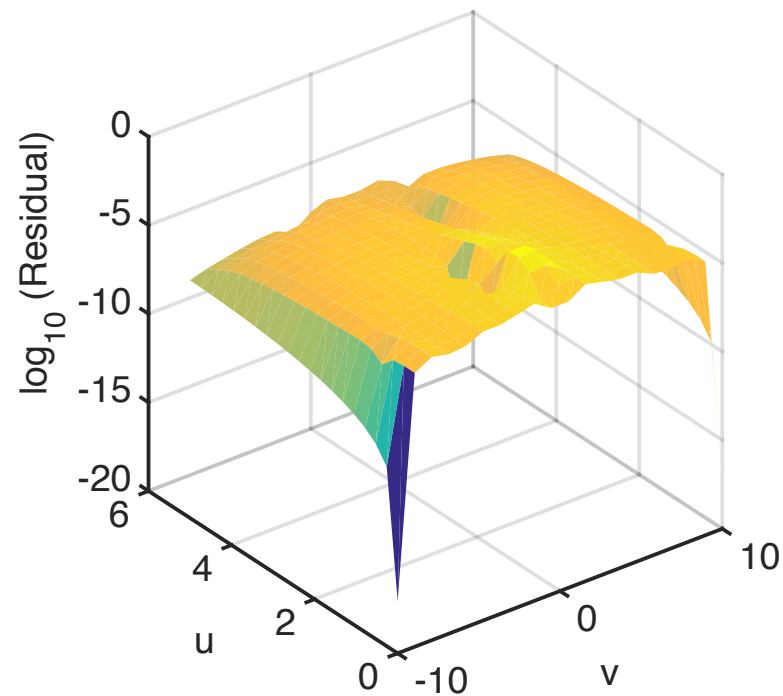
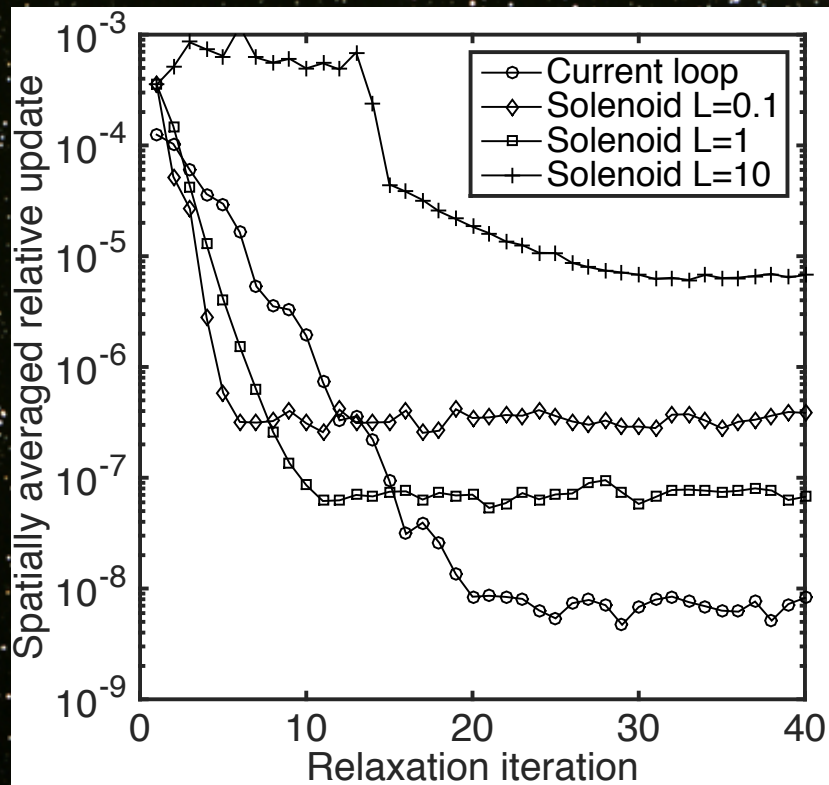
$$\hat{f}_k(u) = \frac{1}{V} \int_{-V}^V f(u, v) \cos\left(\frac{k\pi}{V}v\right) dv$$

★ Boundary value problem for each Fourier mode at each step n:

$$\frac{d^2 \hat{\rho}_k}{du^2} + \frac{1}{u} \frac{d\hat{\rho}_k}{du} - \frac{l^2}{L^2} \left(\frac{k\pi}{V}\right)^2 \hat{\rho}_k = \hat{S}_{k,1}(u)$$

Numerical method (2/2)

Convergence of the relaxation algorithm



Residual of off-diagonal Einstein equation

Courber l'espace-temps avec des électroaimants

★ Equations d'Einstein adimensionnées:

$$g_{rr} \sim g_{tt} \sim \mathcal{C}_I = \frac{8\pi G}{c^4} \mu_0 I_{\text{tot}}^2 = 8\pi \left(\frac{I_{\text{tot}}}{I_{\text{Pl}}}\right)^2$$

Couplage magnéto-gravitationnel

Courant de Planck: $I_{\text{Pl}} = \frac{c^2}{\sqrt{G\mu_0}} = 9.8169 \times 10^{24} \text{ A}$

★ Analogue à la compacité pour les objets avec masse d'inertie:

$$g_{rr} \sim g_{tt} \sim s = \frac{GM}{c^2 R}$$

L'échelle de l'aimant n'intervient pas directement! (invariance conforme)

Les seuls champs gravitationnels que l'on peut espérer générer seront extrêmement faibles!

$$\mathcal{C}_I \sim \left(\frac{I_{\text{tot}}}{10^{25} \text{ A}} \right)^2$$

Starfleet utilise-t-il des générateurs magnéto-gravitationnels ?



USS Enterprise

**Anneau de
courant électrique**

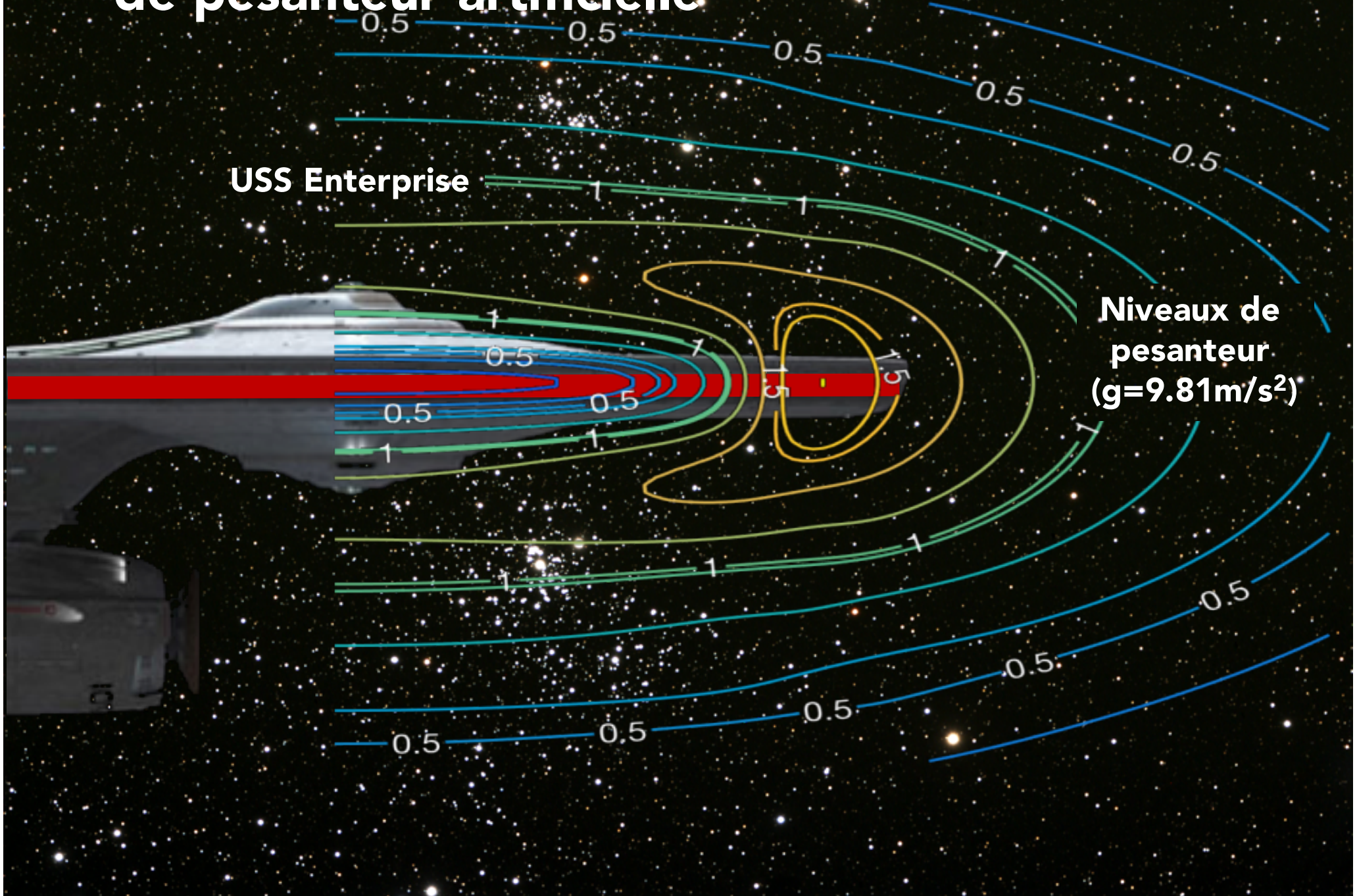
L'USS Enterprise et son champ de pesanteur artificielle

USS Enterprise



Calculs basés sur Physical Review D 93 024014 (2016)

L'USS Enterprise et son champ de pesanteur artificielle

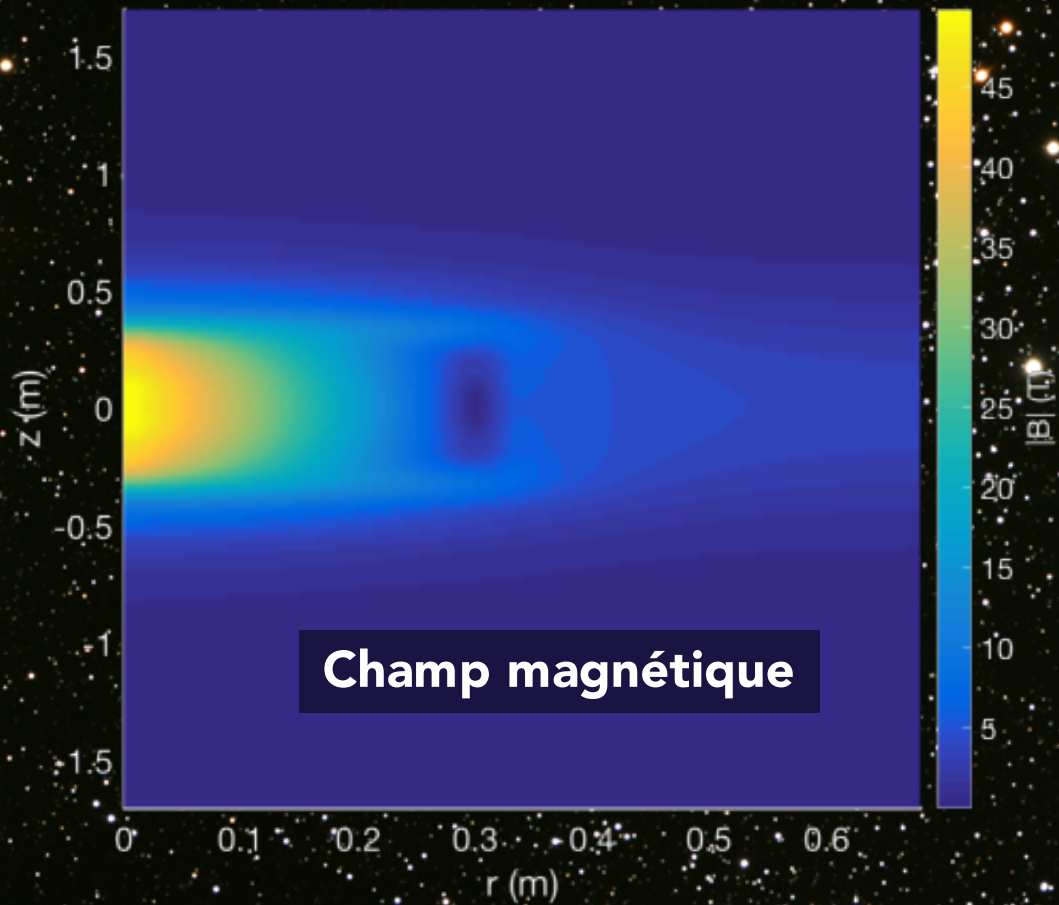


Star Trek en relativité générale



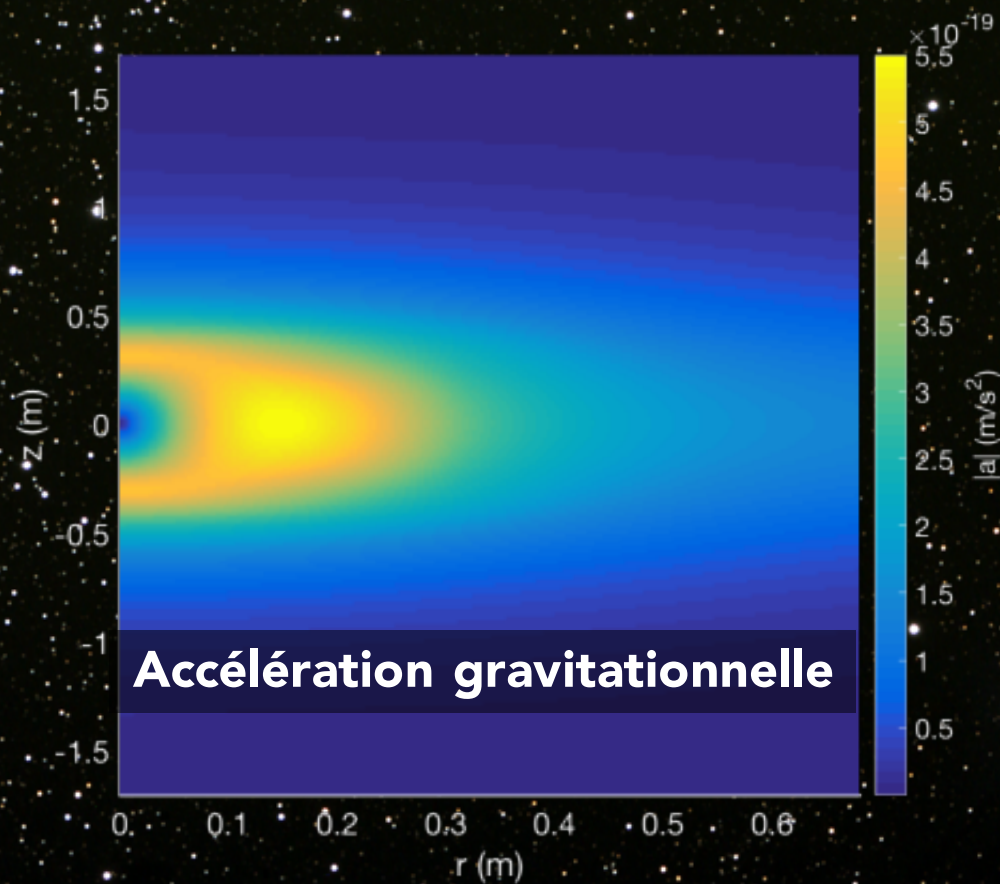
USS Enterprise

- Pour un générateur de 1g de 500 m de diamètre:
- Intensité totale du courant: 10^{17} Ampères
 - Champ magnétique $\sim 10^9$ T



Champ magnétique

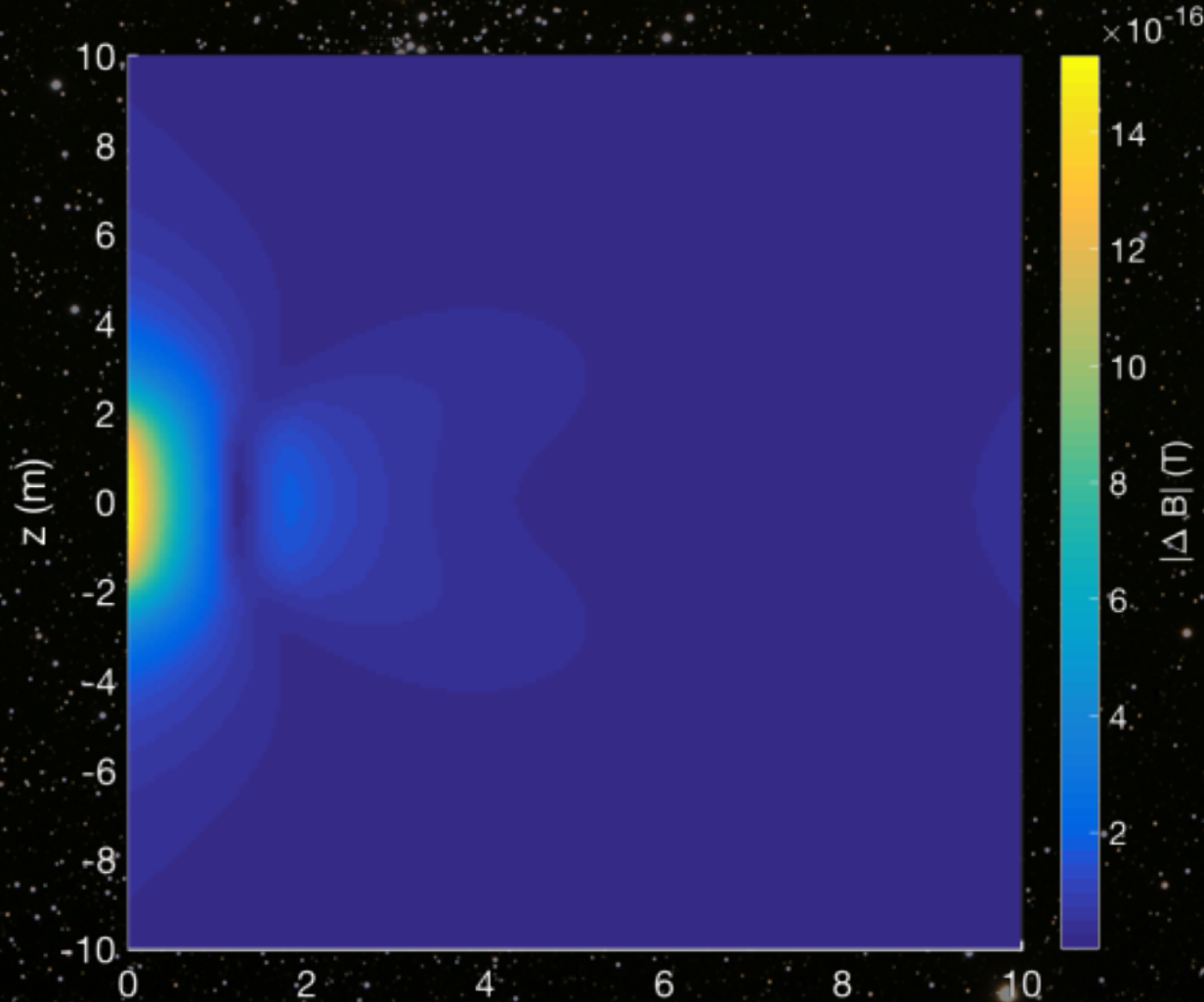
**Aimant:
l=350 mm
L=700 mm
 $B_0=50$ T**



Accélération gravitationnelle

Magnétisme sur espace courbe

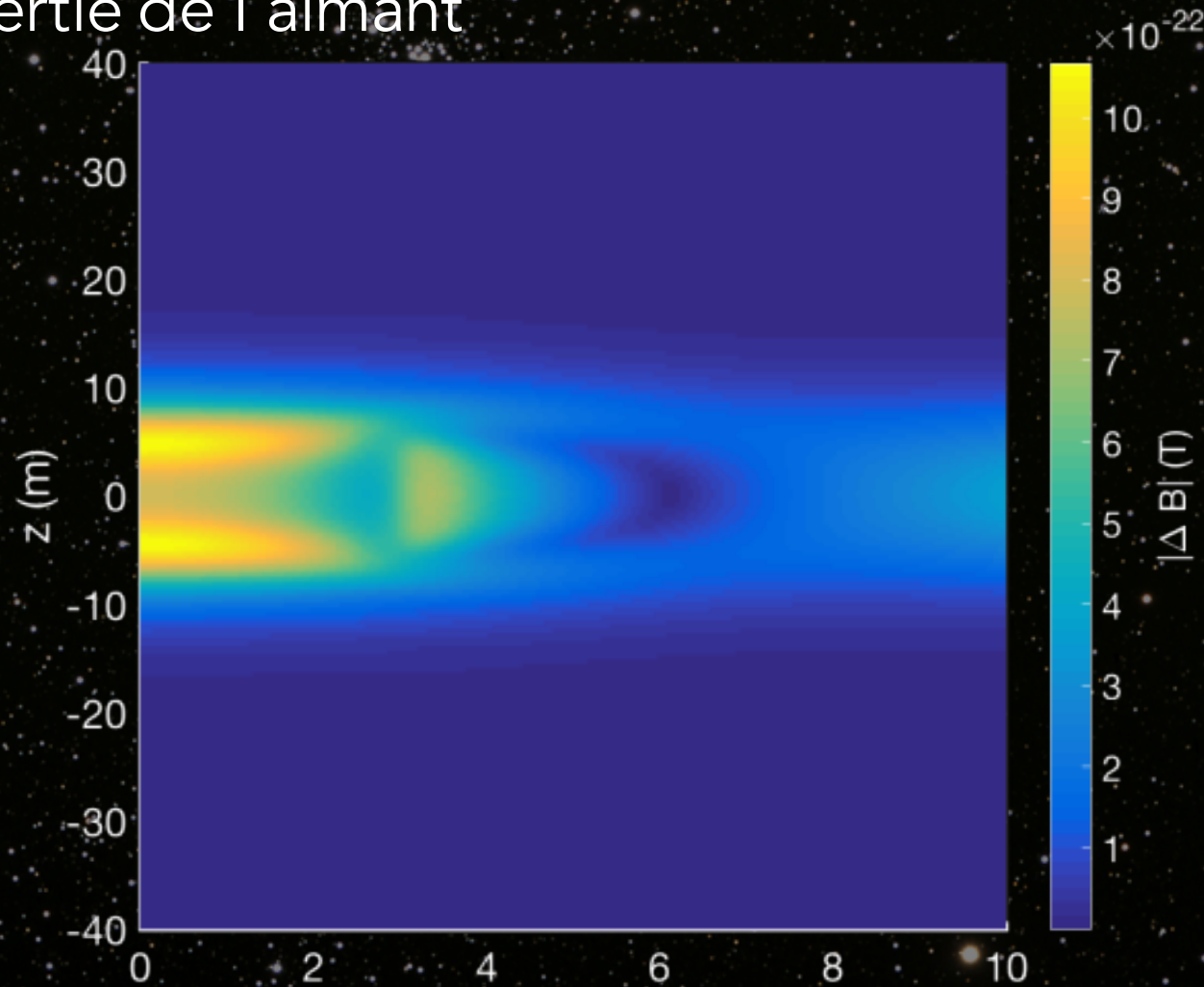
- ★ Les champs magnétiques ressentent le champ de pesanteur terrestre



$$\nabla^2 a \sim -r \mu_0 J_\varphi - \vec{\nabla}_r a \bullet \vec{\nabla} g_{tt} \leftarrow \text{Accélération de pesanteur}$$

Magnétisme sur espace courbe

- ★ Le champ magnétique ressent le champ de pesanteur dû à la masse d'inertie de l'aimant



$$\nabla^2 a \sim -r \mu_0 J_\varphi - \vec{\nabla} a \bullet \vec{\nabla} g_{tt} \leftarrow \text{Champ de pesanteur permanent de l'aimant}$$

Détection de champs gravitationnels artificiels

★ Défi expérimental:
$$C_I \sim \left(\frac{I_{\text{tot}}}{10^{25} A} \right)^2$$

★ Effets sur la lumière:

- le champ magnétique affecte classiquement la lumière via la courbure de l'espace-temps qu'il génère
- Effet Einstein: décalage en fréquence gravitationnel
- Décalage de phase (ou time delay - Shapiro effect)
- Polarisation
- Déflexion

★ Autre canaux possibles (directs ou indirects):

- Déflexion de particules neutres
- Rayonnement synchrotron
- Effet Aharonov-Bohm
- Interférométrie atomique/neutronique

Détection interférométrique

- ★ Décalage de phase de la lumière (« Shapiro effect »)

$$\Delta\Phi = \frac{1}{2} \int_{\gamma} h_{\mu\nu} K^{(0)\nu} dx^{\mu} = \frac{\pi}{\Lambda} \int_0^{\mathcal{L}} (h_{tt}(0, z) - h_{rr}(0, z)) dz$$

→ $h_{\mu\nu}$: métrique perturbée; K^{ν} : vecteur d'onde non perturbé ; Λ : longueur d'onde

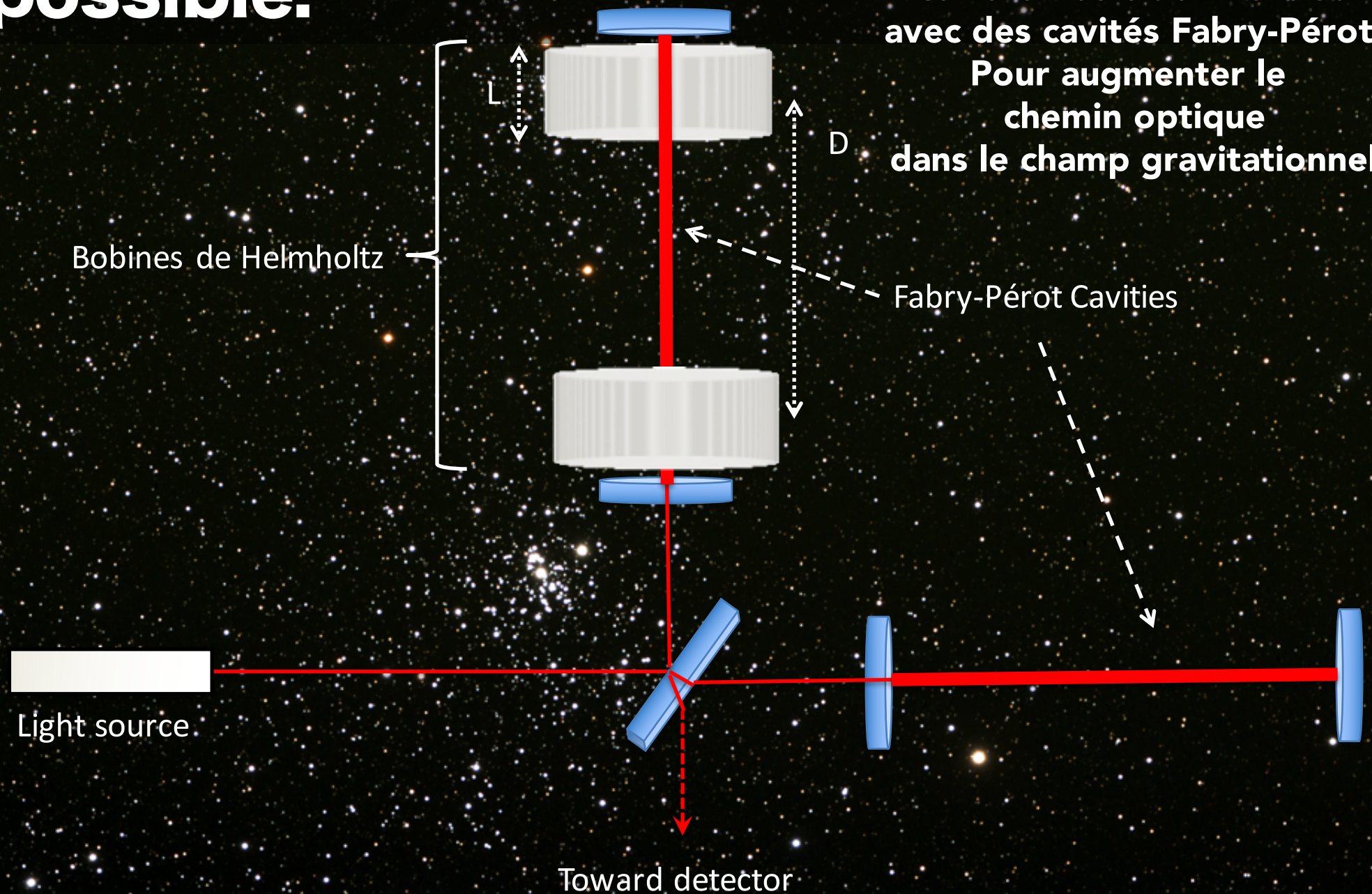
- ★ Observable cumulative le long de la trajectoire: amplification dans des cavités optiques
- ★ Même observable que pour la détection d'ondes gravitationnelles
- ★ Influence de la géométrie de l'aimant:

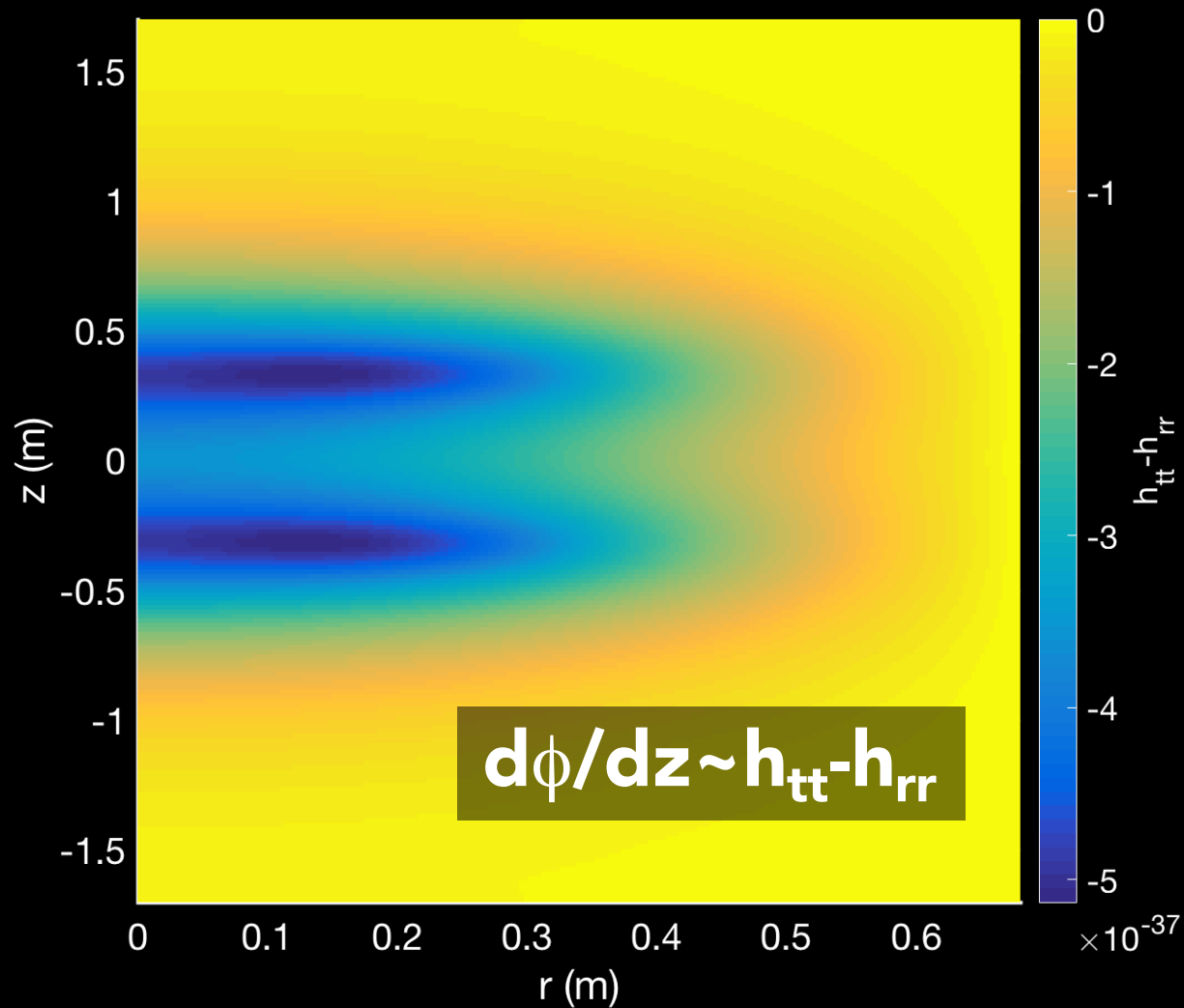
$$\nabla^2 (h_{tt} - h_{rr}) \sim \frac{8\pi G}{c^4 \mu_0} |B_r|^2$$

- ★ Compromis à trouver entre l'amplitude générée et le seuil de détection

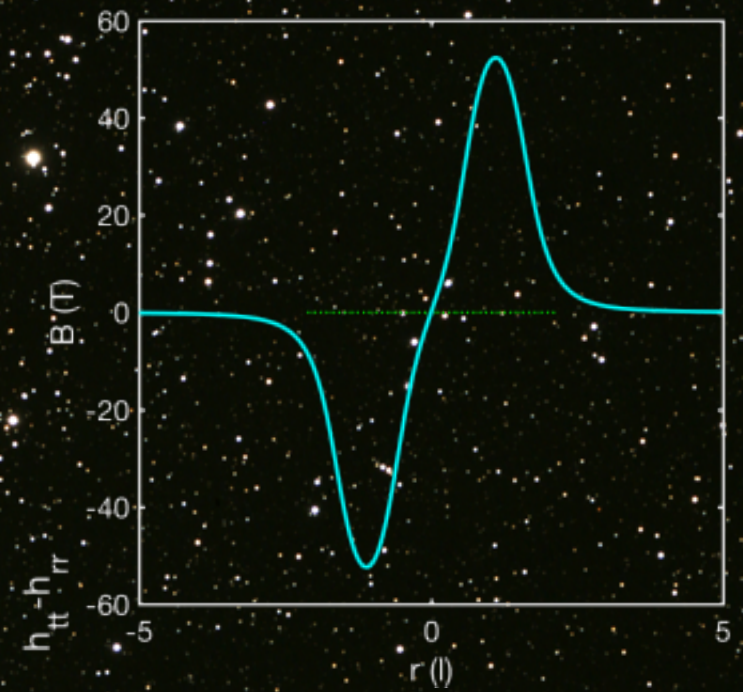
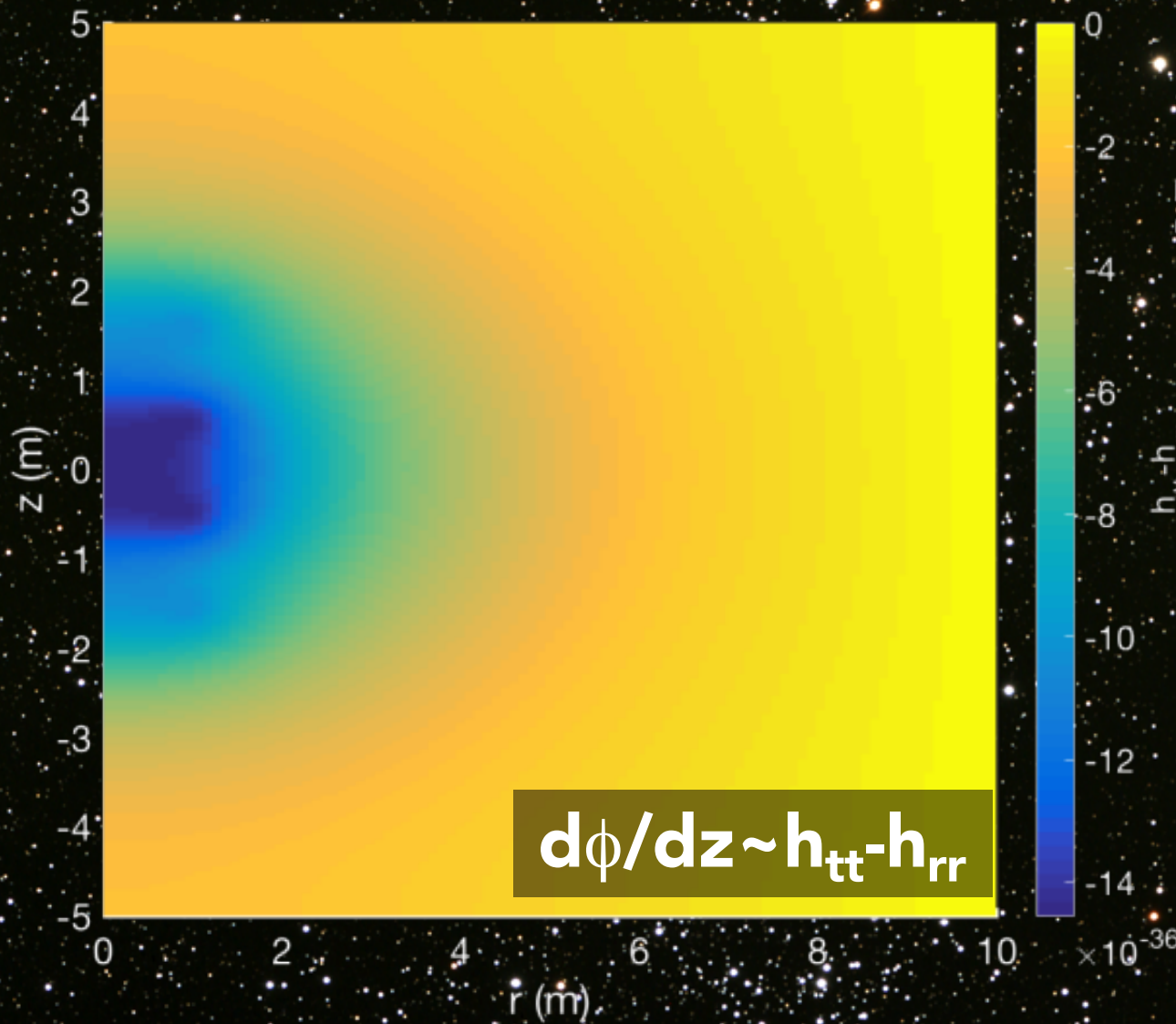
Un dispositif expérimental possible:

Interféromètre de Michelson avec des cavités Fabry-Pérot
Pour augmenter le chemin optique dans le champ gravitationnel.



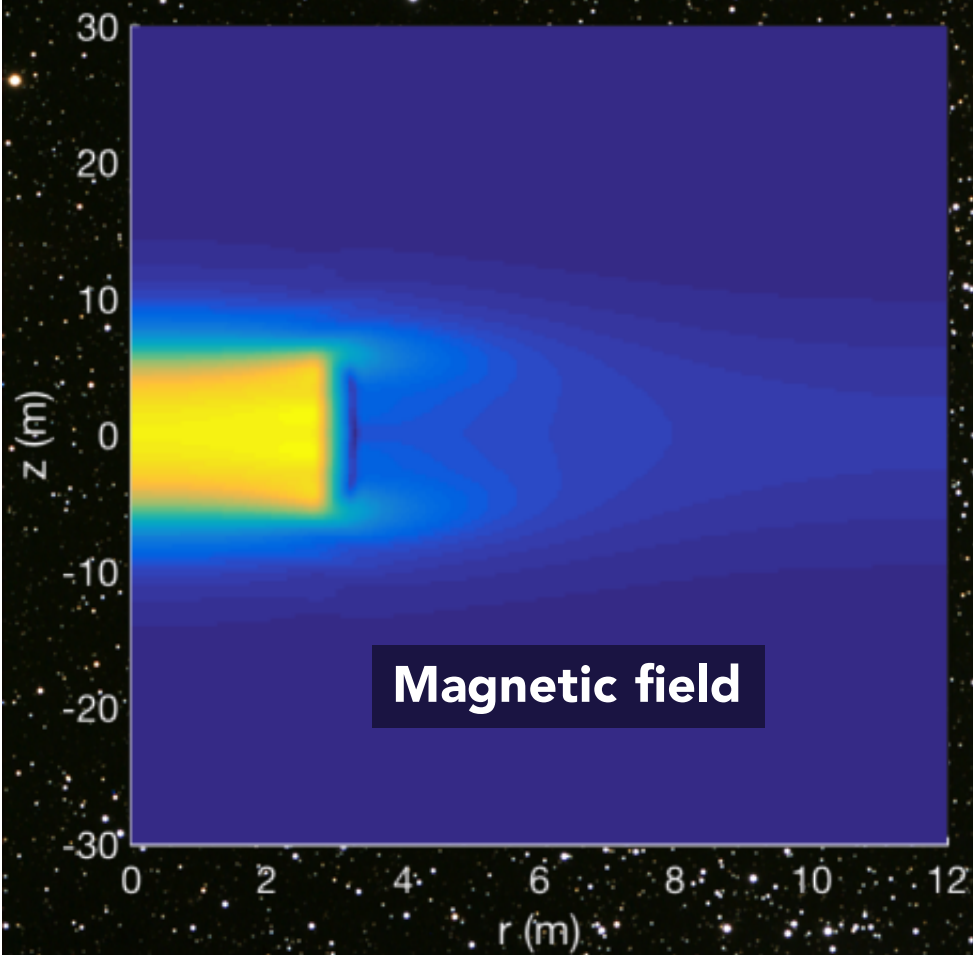


Dépend de la géométrie de l'aimant



Magnets:
 $l=350$ mm
 $L=700$ mm
 $B_0=50$ T

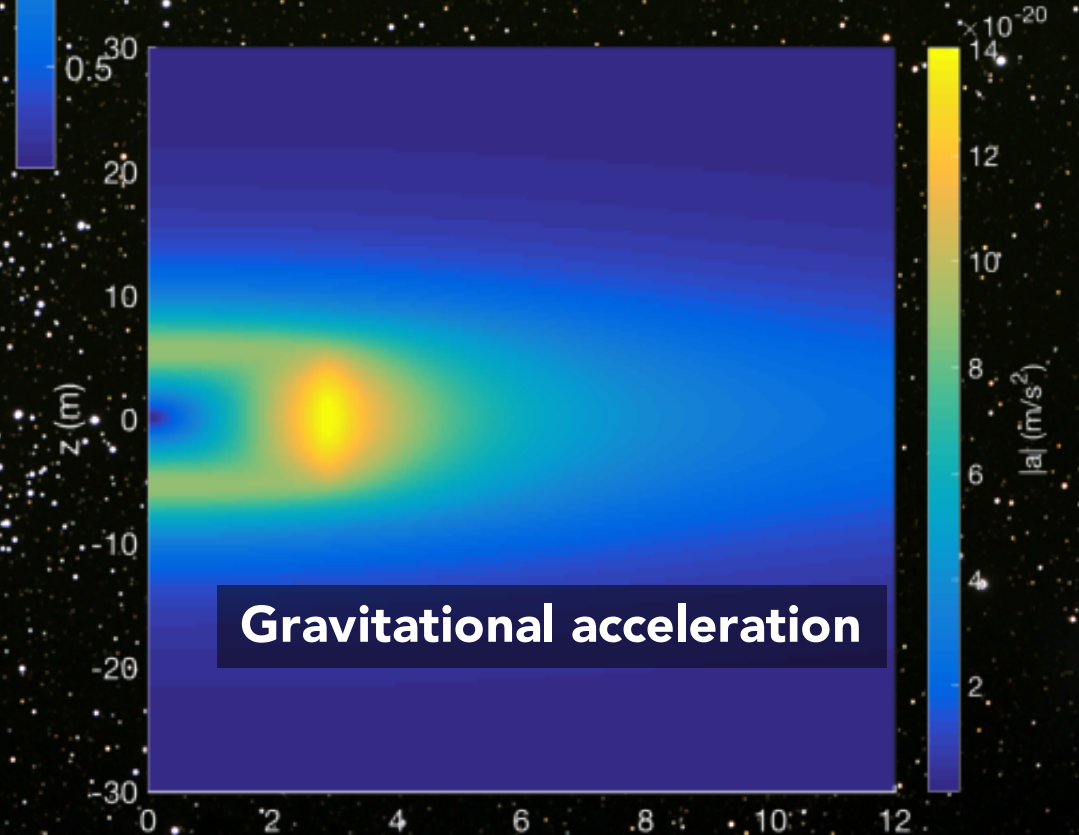
Anti-Helmholtz coil



Magnetic field



CMS-class magnet



Gravitational acceleration

Application : nouveau test de la relativité générale

★ Tests astrophysiques :

- Solar system (Shapiro effect, perihelion shift and ephemerides)
- Lunar laser ranging
- Neutron star physics
- Compact binary systems & Pulsar timing
- Cosmology: Big Bang Nucleosynthesis, Cosmic Microwave Background
- Quasars absorption spectra
- Stellar constraints
- Gravitational waves
- Supermassive black holes

Application : nouveau test de la relativité générale

★ Laboratory and space tests:

- Eötvös experiments (torsion pendulum)
- Oklo natural nuclear reactor and meteorite dating
- Atomic clocks and maser
- Universality of free fall of test masses, atoms, photons
- Neutron interferometry (Colella-Overhauser-Werner experiments)
- atomic interferometry
- frame dragging

**Masse d'inertie ou
champ gravitationnel
terrestre**

★ La plupart des tests de la RG sont basés sur

- les énergies de liaison de systèmes composites
- des champs gravitationnels permanents créés par les masses d'inertie

★ Les champs magnétiques intenses :

- test spécifique exclusivement sur la gravitation et l'électromagnétisme
- matière relativiste (cf. intérieur des étoiles à neutrons)
- des champs gravitationnels non permanent

Exemple : théorie de Kaluza-Klein

★ « Unification » gravitation-électromagnétisme:

→ Kaluza-Klein (1920s): compactification d'une dimension supplémentaire

$$\bar{g}_{AB}^{(5)} = \begin{pmatrix} g_{\mu\nu}^{(4)} + \phi^2 A_\mu A_\nu & \phi^2 A_\mu \\ \phi^2 A_\mu & \phi^2 \end{pmatrix}$$

→ Dilaton ϕ : variation du couplage gravitationnel et électromagnétique

→ Caractéristique commune aux limites basse énergie des (nombreuses) théories des cordes compactifiées

★ Fortes contraintes d'origine gravitationnelle sur la masse du dilaton

★ Pas de contraintes impliquant l'électromagnétisme uniquement

→ pas un problème de magnétostatique mais un problème de RG mais à 5D

Electroaimants en théorie de Kaluza-Klein

★ Phénoménologie

$$\nabla^2 g_{tt} \sim \vec{\nabla} g_{tt} \bullet \vec{\nabla} \phi \quad \leftarrow \begin{array}{l} \text{Modified} \\ \text{Poisson} \\ \text{equations} \end{array}$$

$$\nabla^2 g_{rr} \sim \phi^2 B_r^2 \quad \leftarrow$$

$$\nabla^2 \phi \sim \phi^2 B^2 \quad \leftarrow \text{Dilaton equation}$$

Loi d'Ampère dans la théorie de Kaluza-Klein :

$$\nabla^2 a \sim \boxed{-\frac{r^2}{l} \mu_0 J_\varphi} - \vec{\nabla} a \bullet \vec{\nabla} (g_{tt} + \phi)$$

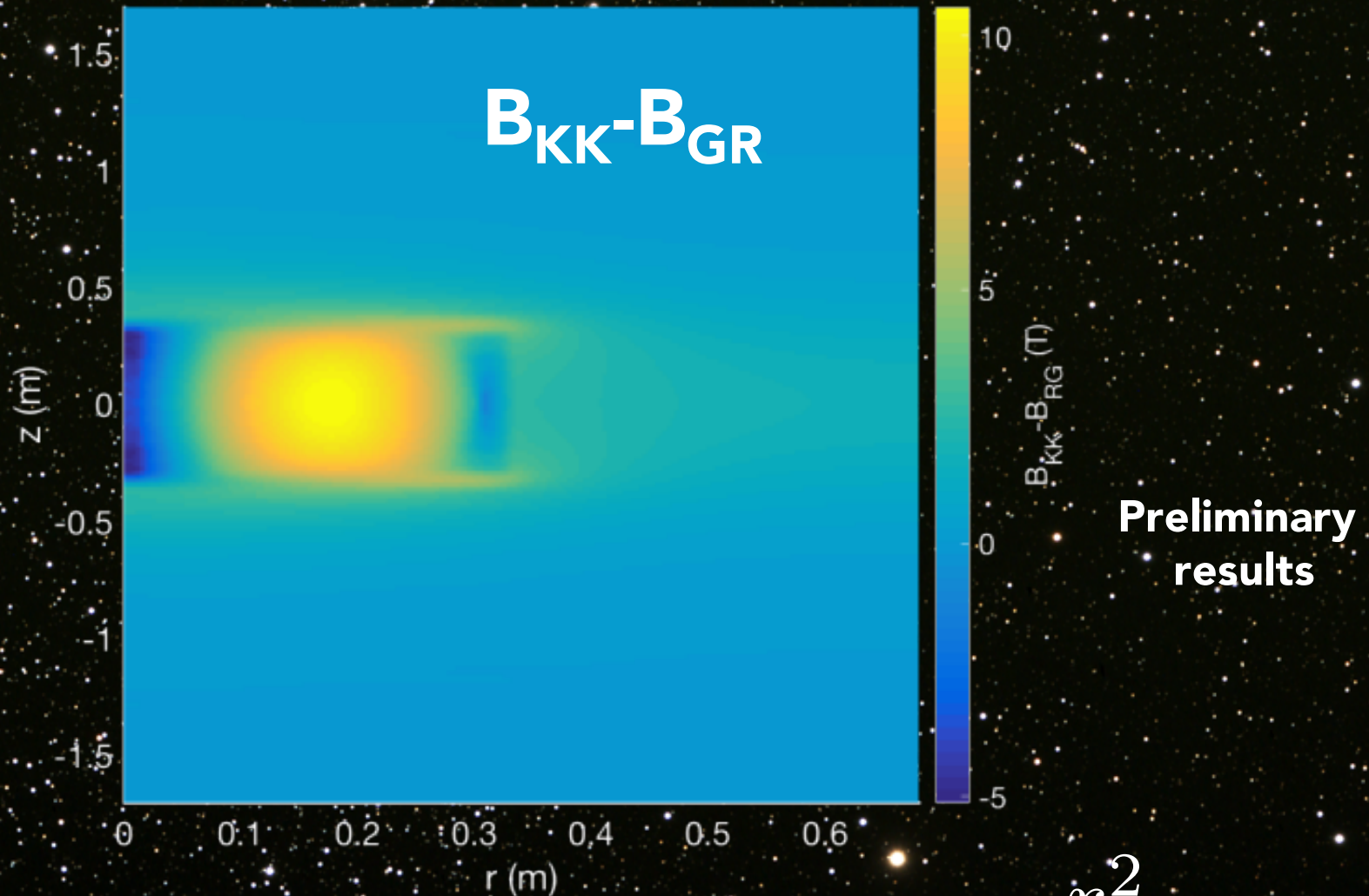
no conformal invariance

Loi d'Ampère en relativité générale

$$\nabla^2 a \sim -r \mu_0 J_\varphi - \vec{\nabla} a \bullet \vec{\nabla} g_{tt}$$

Kaluza-Klein vs General relativity

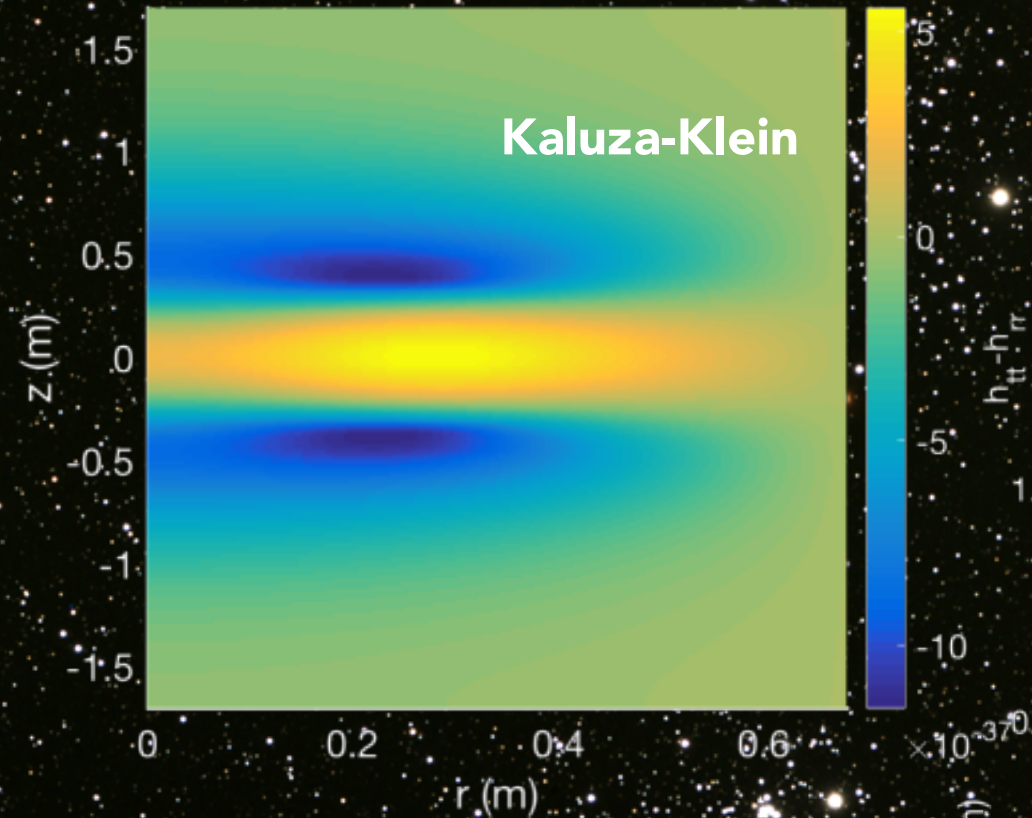
Test de la loi d'Ampère



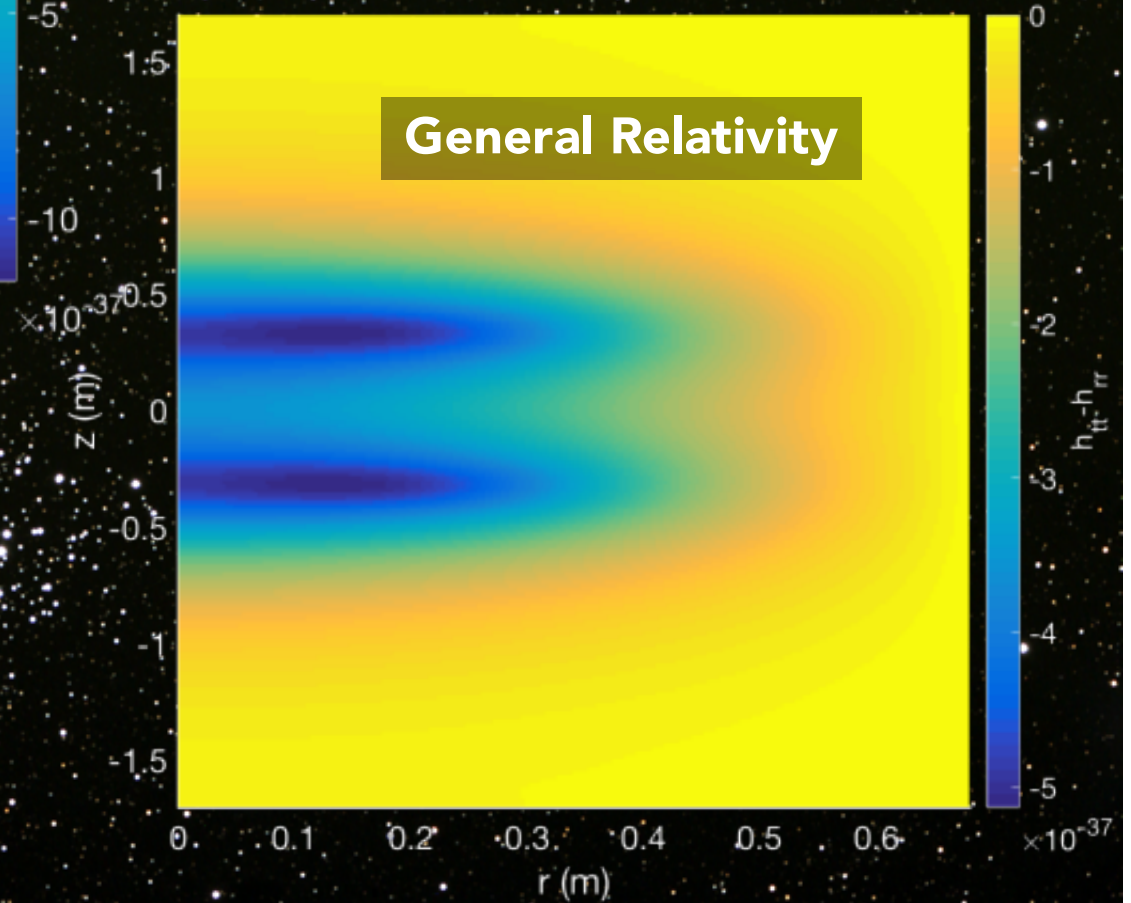
The magnetic field generated by the current depends on the theory!

$$\nabla^2 a \sim -\frac{r^2}{l} \mu_0 J_\varphi$$

Kaluza-Klein vs General relativity



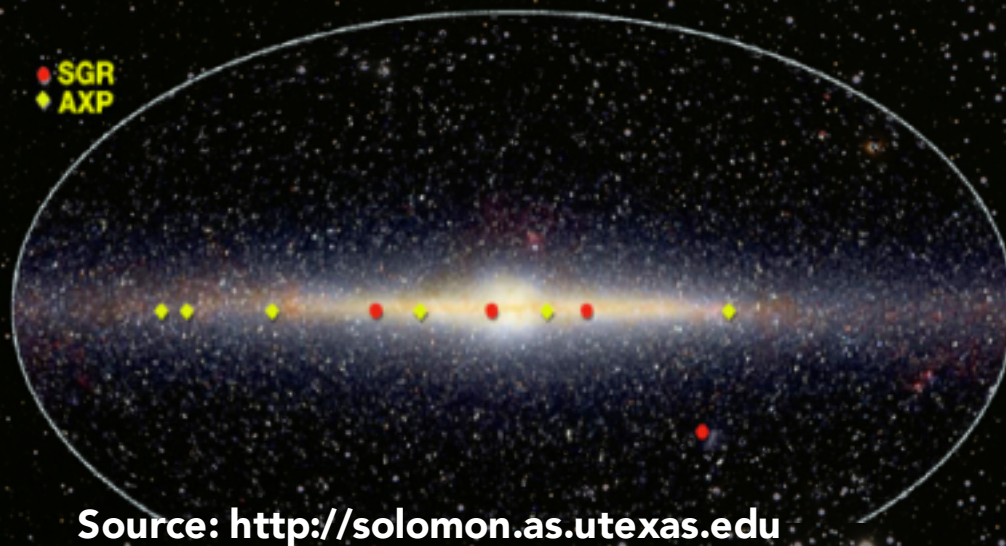
$$d\phi/dz \sim h_{tt} - h_{rr}$$



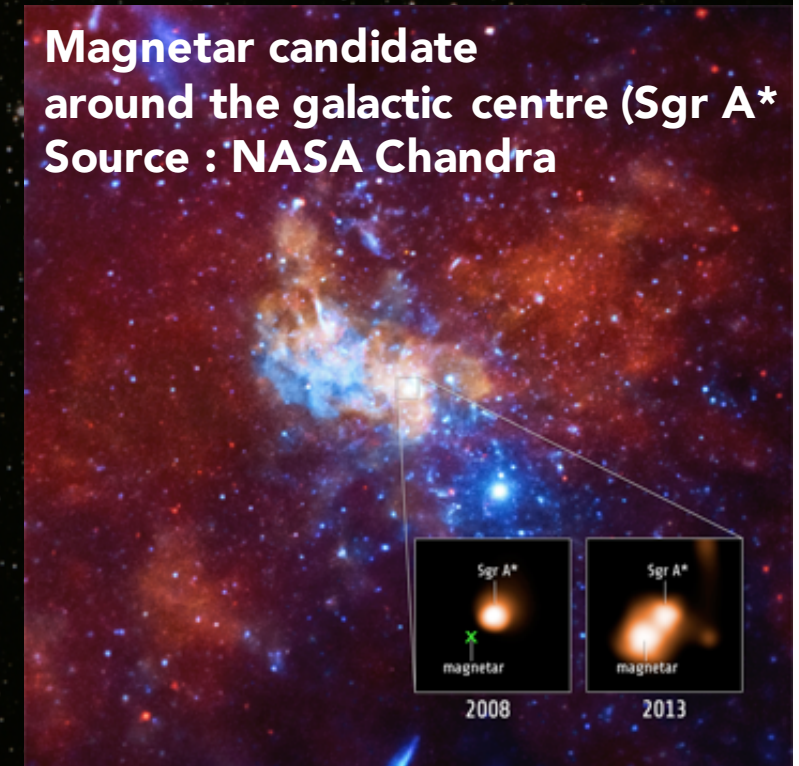
Application to astrophysics : magnetars

- ★ Neutron stars with ultra-strong magnetic fields ($B \sim 10^8 - 10^{11}$ T)

Known magnetar candidates



Magnetar candidate around the galactic centre (Sgr A*) Source : NASA Chandra



- ★ Additional spacetime curvature due to magnetic energy will contribute to gravitational lensing and quantum effects on polarization

- ★ For $R \sim 20$ km, magneto-gravitational coupling $C_1 \sim 10^{-12} - 10^{-6}$

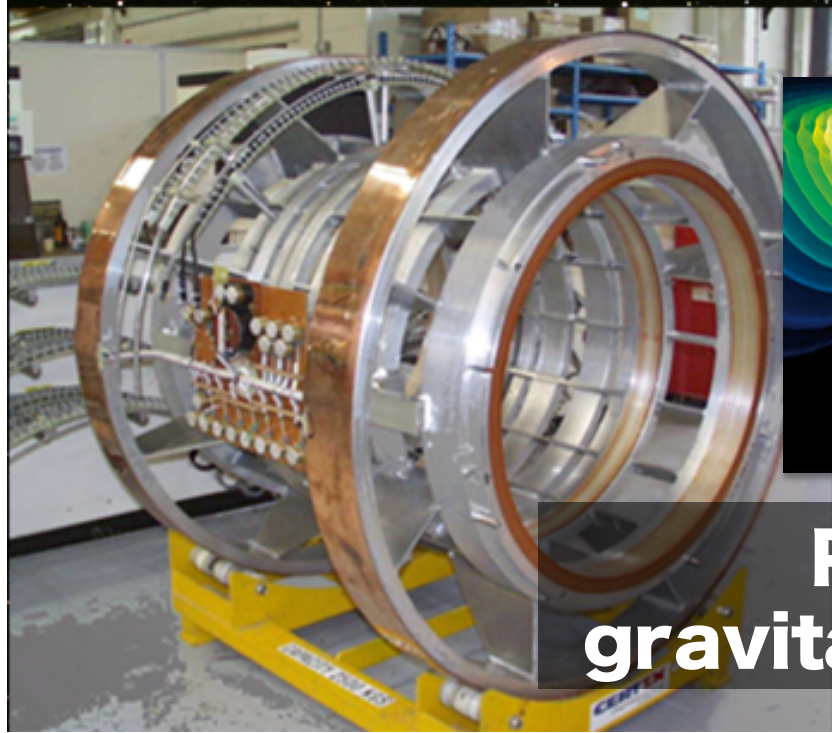
Effets gravitationnels dans les électroaimants

- ★ Tests précis de la loi d'Ampère dans des théories alternatives:
 - dimensions supplémentaires, couplage photon-dilaton, Born-Infeld, etc.
- ★ Etude de faisabilité pour la génération-détection de champs gravitationnels:
 - Time delay, Phase shift
- ★ Couplage laser de haute puissance et électroaimants
 - Effet Gertsenshtein-Zeldovich : production résonante d'ondes gravitationnelles dans un champ magnétique intense
 - Détection indirecte d'ondes gravitationnelles générées artificiellement
- ★ Applications:
 - nouveaux tests du principe d'équivalence
 - Physique des magnétars
 - Banc de test pour des détecteurs d'ondes gravitationnelles

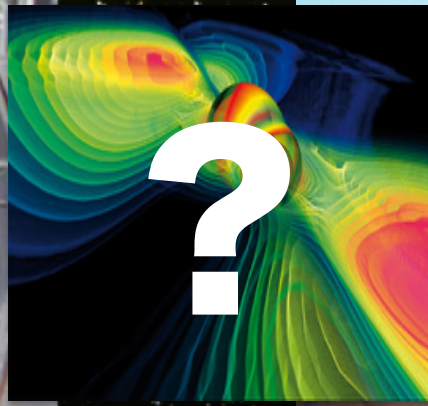
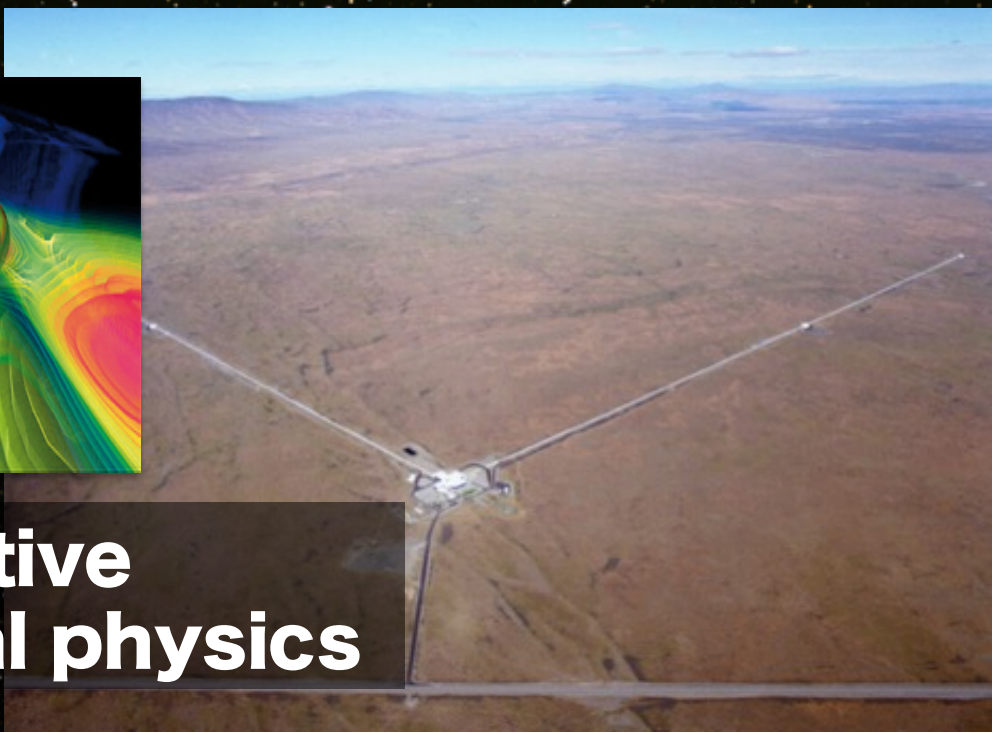
Particle Physics



Generators



Detectors



Proactive gravitational physics

